

Outils Numériques pour l'Ingénieur

Traitement de signal

ludovic.charleux@univ-savoie.fr

www.polytech.univ-savoie.fr

- 1 Notations
- 2 Outils
- 3 Signaux
- 4 Echantillonnage
- 5 Analyse fréquentielle
- 6 Traitement d'images

Plan

1 Notations

2 Outils

3 Signaux

4 Echantillonnage

5 Analyse fréquentielle

6 Traitement d'images

Notations

Un signal ?

Dans ce cours on étudie le comportement d'un signal x issu de la mesure d'une grandeur physique (vitesse, température, ...). Le signal dépend d'une variable unique t qui peut représenter le temps, une position ...

Signal quelconque

D'un point de vue mathématique, le signal $x(t)$ défini par :

$$x : t \longmapsto x(t), \forall x \in [0, t_{\max}]$$

Signal périodique

Si x est périodique, on note T sa période et f sa fréquence avec :

$$f = \frac{1}{T}$$

Plan

- 1 Notations
- 2 Outils**
- 3 Signaux
- 4 Echantillonnage
- 5 Analyse fréquentielle
- 6 Traitement d'images

Python, c'est quoi ?

Pourquoi Python ?

- La lourdeur des calculs nécessite des outils numériques.
- Les signaux expérimentaux sont numérisés et donc aisément traités par ces outils.
- Python est un langage simple, au spectre d'applications vaste.
- Python est libre et donc gratuit, vous pouvez donc l'installer rapidement sur toute machine. Il est présent sur la majorité des distributions de Linux.
- Pour l'installer et lire les documentations : [http ://www.python.org/](http://www.python.org/)
- Modules utilisés :
 - Graphisme : Matplotlib
 - Calcul scientifique : Scipy
 - Calcul numérique : Numpy

Python : comment ça marche ?

Outils nécessaires

- Un éditeur de texte reconnaissant la syntaxe.
- Un terminal.

Exemple

On crée un fichier `test.py` dont le contenu est (voir dossier / listings) :

```
1 # listings/test.py
2 print "Hello world !"
```

On exécute Python dans un terminal avec une des commandes suivantes :

```
1 python test.py
```

Ou :

```
1 python
2 execfile( test.py )
```

La seconde solution a l'intérêt de ne pas fermer l'interpréteur après l'exécution ce qui permet de déboguer ou de modifier le code plus aisément.

Plan

- 1 Notations
- 2 Outils
- 3 Signaux**
- 4 Echantillonnage
- 5 Analyse fréquentielle
- 6 Traitement d'images

Signal sinusoïdal (1/3)

Définition

```
1 # signal_sinusoïdal.py
2 from math import sin, pi
3 # T: periode, k: amplitude, phi: dephasage
4 def signal_sinusoïdal(t, T=1., k=1., phi=0.):
5     return k * sin(2 * pi * t / T + phi)
```

Fonction de tracé

On construit une fonction qui assure le tracé :

```
1 # trace_signal.py
2 import matplotlib.pyplot as plt
3
4 def trace_signal(t, x, fichier, xlabel='Temps $t$',
5 ylabel='Signal $x$', grid=True, style='r-'):
6     plt.figure(0, figsize=(9, 5))
7     plt.clf()
8     plt.plot(t, x, style, linewidth=2.0)
9     plt.xlabel(xlabel, fontsize=15)
10    plt.ylabel(ylabel, fontsize=15)
11    plt.grid(grid)
12    plt.savefig(fichier)
```

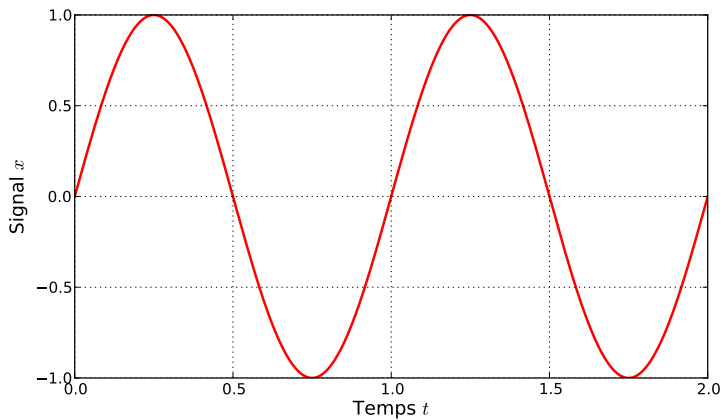

Signal sinusoïdal (2/3)

Tracé du signal

```
1 # listings/exemple1.py
2 # On charge la fonction signal_sinusoidal
3 from signal_sinusoidal import *
4 # On charge la fonction trace_signal
5 from trace_signal import *
6 from numpy import arange
7 signal = signal_sinusoidal # On definit le signal utilise
8 T = 1. # Periode du signal
9 t_min = 0. # Debut du calcul du signal
10 t_max = 2. # Fin du calcul du signal
11 np = 10000 # Nombre de points calcules
12 # On definit l'interval de temps a tracer
13 t = arange(np)/float(np)*(t_max-t_min)+t_min
14 # Fichier dans lequel tracer
15 fichier = '../figures/sinusoide.pdf'
16 x = [signal(tt,T=T) for tt in t]
17 trace_signal(t,x,fichier)
```

Signal sinusoïdal (3/3)

On obtient le fichier (vectoriel) `sinusoide.pdf`



Signal carré (1/3)

Construction de la fonction

```
1 #listings/signal_carre.py
2 from numpy import floor
3 # T: periode, k: amplitude
4 def signal_carre(t,T=1.,k=1.):
5     t = t - floor(t/T)
6     x = -1.
7     if t > T/2.: x = 1.
8     return x
```

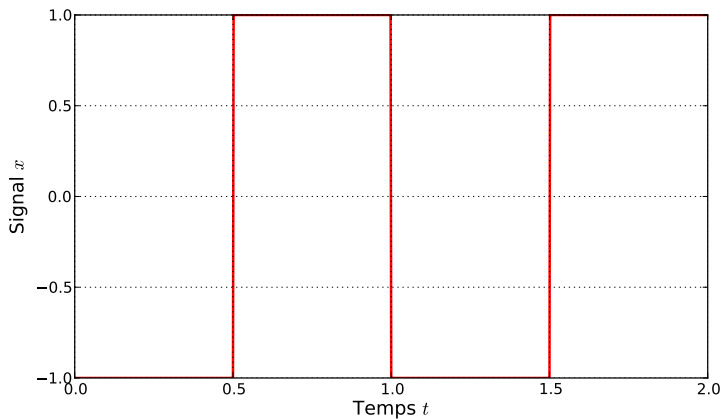
Signal carré (2/3)

Tracé du signal

```
1 # listings/exemple2.py
2 # On charge la fonction signal_carre
3 from signal_carre import *
4 # On charge la fonction trace_signal
5 from trace_signal import *
6 from numpy import arange
7 signal = signal_carre # On definit le signal utilise
8 T = 1. # Periode du signal
9 t_min = 0. # Debut du calcul du signal
10 t_max = 2. # Fin du calcul du signal
11 np = 1000 # Nombre de points calcules
12 # On definit l'interval de temps a tracer
13 t = arange(np)/float(np)*(t_max-t_min)+t_min
14 fichier = '../figures/carre.pdf'
15 x = [signal(tt,T=T) for tt in t]
16 trace_signal(t,x,fichier)
```

Signal carré (3/3)

On obtient le fichier (vectoriel) `carre.pdf`



Signal expérimental : mesure d'accélération sur une cloche

Intérêt

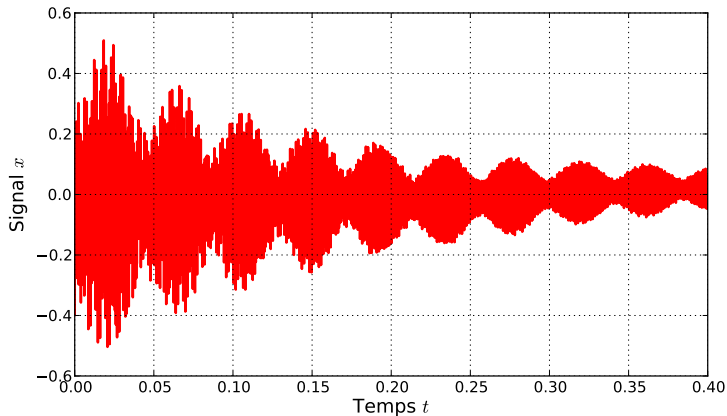
Ce signal pseudo périodique est obtenu expérimentalement au moyen d'un accéléromètre fixé sur une cloche (visible en salle C114) et excitée par un battant. Il est fourni dans un fichier sérialisé par le module Python Pickle.

Tracé

```
1 # listings/exemple4.py
2 import pickle
3 from numpy import arange
4 from trace_signal import *
5 fichier = open('cloche.pkl', 'r') # Ouverture du fichier
6 cloche = pickle.load(fichier) # Chargement des données
7 fichier.close() # Fermeture du fichier
8 x = cloche['x'][:32] # Redimensionnement des données
9 fe = cloche['fe'] # Définition de la fréquence d'échantillonnage
10 t = arange(len(x))/float(fe)
11 fichier = '../figures/cloche.pdf'
12 trace_signal(t, x, fichier)
```

Signal expérimental : mesure d'accélération sur une cloche

On obtient le fichier (vectoriel) `cloche.pdf`



Plan

- 1 Notations
- 2 Outils
- 3 Signaux
- 4 Echantillonnage**
- 5 Analyse fréquentielle
- 6 Traitement d'images

Les bases

Principe

Échantillonner un signal x consiste à l'évaluer sur une grille comportant N points définie par :

$$t_n = t_{min} + \frac{n}{f_e}, \quad n \in [0, N[$$

La fréquence f_e est la fréquence d'échantillonnage. La durée d'observation du signal notée D est donc obtenue par :

$$D = N/f_e$$

Le signal échantillonné est alors obtenu par :

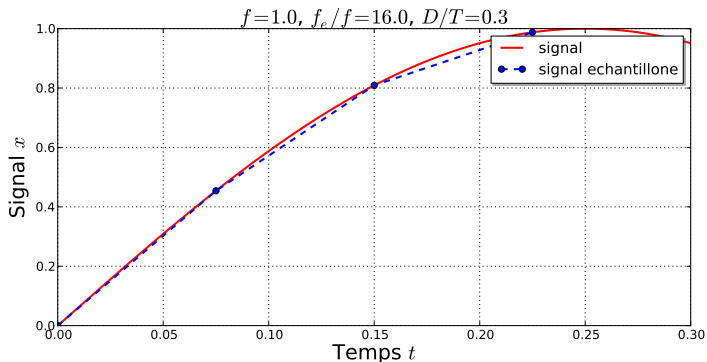
$$x_n = x(t_n)$$

On note $[t_n]$ et $[x_n]$ les vecteurs ainsi obtenus.

Paramètres importants

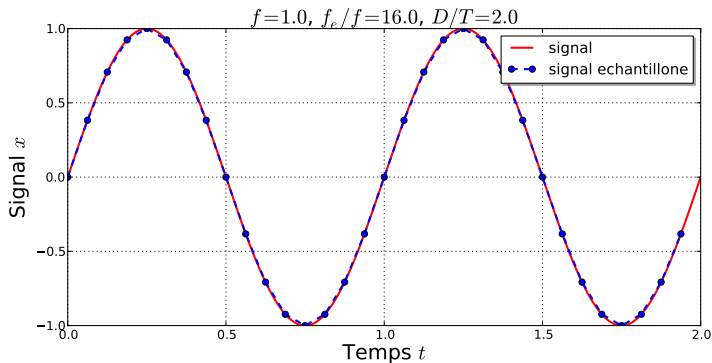
- $\frac{D}{T}$: ajustable en modifiant la durée d'observation D
- $\frac{f_e}{f}$: ajustable en modifiant la fréquence d'échantillonnage f_e .

Choix de la durée d'observation (1/2)



Temps d'observation D trop court !

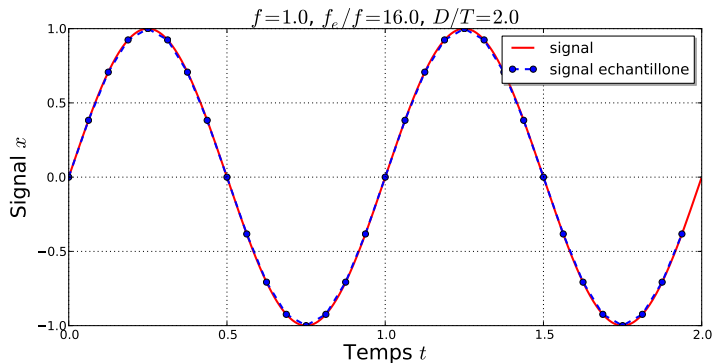
Choix de la durée d'observations (2/2)



Conclusion

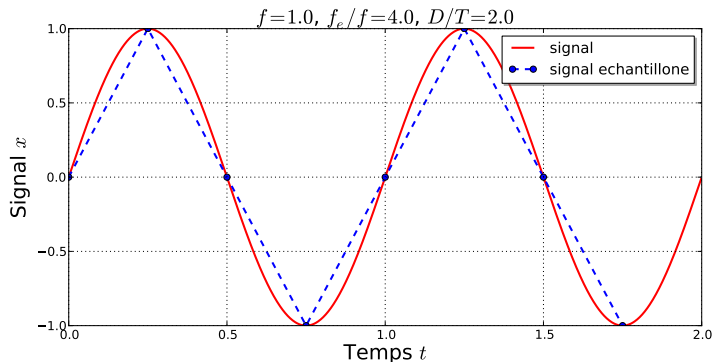
- Il faut que $D/T \geq 1$
- Idéalement, $D/T \in \mathbb{N}$

Une borne basse de la fréquence d'échantillonnage ?



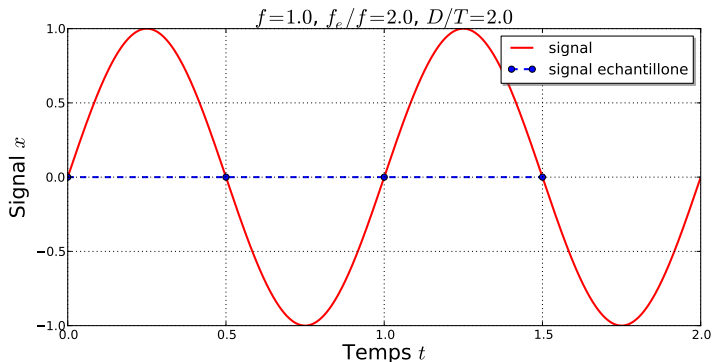
Échantillonnage correct.

Une borne basse de la fréquence d'échantillonnage ?



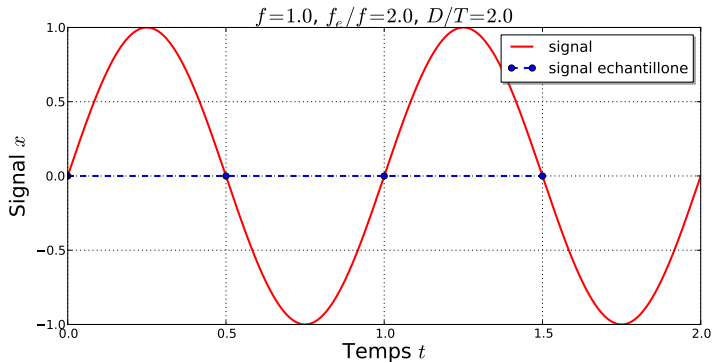
Échantillonnage correct.

Une borne basse de la fréquence d'échantillonnage ?



Fréquence d'échantillonnage trop basse.

Borne basse de la fréquence d'échantillonnage ?

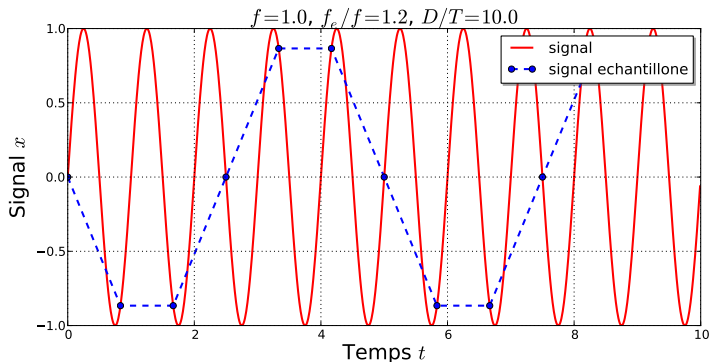


Fréquence d'échantillonnage f_e trop basse.

Bilan : le théorème de Shannon-Nyquist

Toute composante du signal dont la fréquence est supérieure ou égale à $f_e/2$ sera perdue lors de l'échantillonnage.

Hautes fréquences et aliasing



Hautes fréquences et aliasing

Les fréquences trop hautes vis-à-vis de la fréquence d'échantillonnage (*i. e.* $f \geq f_e/2$) sont non seulement perdues mais peuvent produire des artefacts sous la forme de basses fréquences. Il est donc impératif de filtrer le signal préalablement à son échantillonnage pour couper toutes les fréquences supérieures à $f_e/2$.

Hautes fréquences et aliasing

Explication mathématique

Intéressons nous aux signaux de fréquence $f^* = f + kf_e$ avec $k \in \mathbb{Z}$. On les échantillonne :

$$\begin{aligned}x_n^* &= \sin\left(2\pi \frac{f^*}{f_e} n\right) \\&= \sin\left(2\pi \frac{f + kf_e}{f_e} n\right) \\&= \sin\left(2\pi nk + 2\pi \frac{f}{f_e} n\right) \\&= \sin\left(2\pi \frac{f}{f_e} n\right) \\&= x_n\end{aligned}$$

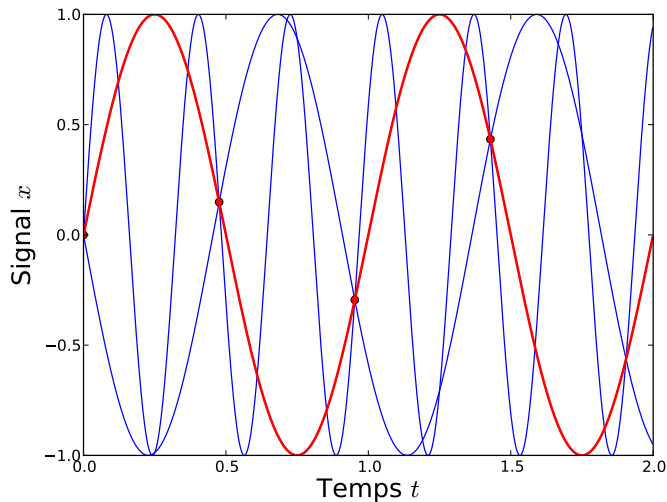
Ce qu'il faut comprendre

Les signaux de fréquence $f^* = f + kf_e$ avec $k \in \mathbb{Z}$ sont indiscernables par échantillonnage. Dans le cadre d'une étude expérimentale, il faut donc s'assurer qu'une seule de ces fréquences est présente dans le signal échantillonné.

Mises en pratique (1/2)

```
1 # listings/exemple_aliasing.py
2 from matplotlib import pyplot as plt
3 from math import sin, pi
4 from signal import sinusoid as signal
5 from numpy import arange, floor
6 beaucoup = 1000
7 f = 1. # Frequence du signal
8 D = 2./f # Duree d'observation
9 t_min = 0. # Debut du calcul du signal
10 t_max = t_min+D # Fin du calcul du signal
11 fe = 2.1*f # Frequence d'echantillonnage
12 N = int(floor(D*fe)) # Nombre de points d'evaluation
13 plt.figure(0)
14 plt.clf()
15 plt.xlabel('Temps $t$', fontsize=20)
16 plt.ylabel('Signal $x$', fontsize=20)
17 kmin, kmax = -1, 2
18 t = arange(beaucoup)/float(beaucoup)*(t_max-t_min)+t_min
19 for k in xrange(kmin, kmax):
20     f1 = f + k*fe
21     x = [signal(tt, T=1./f1) for tt in t]
22     plt.plot(t, x, 'b-', linewidth=1.)
23 tn = arange(N)/(D*fe)*(t_max-t_min)+t_min
24 xn = [signal(tt, T=1./f) for tt in tn]
25 plt.plot(tn, xn, 'or')
26 x = [signal(tt, T=1./f) for tt in t]
27 plt.plot(t, x, 'r-', linewidth=2.)
28 plt.savefig('../figures/exemple_aliasing.pdf')
```

Mises en pratique (2/2)



Plan

- 1 Notations
- 2 Outils
- 3 Signaux
- 4 Echantillonnage
- 5 Analyse fréquentielle**
- 6 Traitement d'images

Décomposition des signaux périodiques

Fonctions de base

On peut projeter les signaux de fréquence f sur une base de dimension infinie constituée de fonctions de la forme :

$$f_n(t) = \sin(2\pi nft) \text{ et } g_n(t) = \cos(2\pi nft)$$

Décomposition sur la base

Un signal périodique $x(t)$ peut donc s'écrire sous la forme :

$$x(t) = \sum_{n=0}^{+\infty} a_n \sin(2\pi nft) + b_n \cos(2\pi nft)$$

Points essentiels

- Connaître $[a_n]$ et $[b_n]$, c'est connaître $x(t)$ en tout point.
- Cette décomposition donne une interprétation fréquentielle de $x(t)$.
- La question est donc de savoir comment calculer analytiquement et numériquement $[a_n]$ et $[b_n]$.

Développement en séries de Fourier

Les grandes lignes

- Les séries de Fourier permettent d'effectuer la projection des signaux périodiques sur la base $[f_n(t), g_n(t)]$ de manière analytique.
- Quand N tend vers l'infini, la somme converge vers le signal $x(t)$.
- Pour les signaux présentant des singularités (triangle, carré), elle converge plus lentement.

Formulation

$$\sum_{n=-N}^{+N} c_n(x) e^{2j\pi nft} \xrightarrow{N \rightarrow \infty} x(t)$$

Où les coefficients complexes $c_n(x) \in \mathbb{C}$ sont définis par :

$$c_n(x) = \frac{1}{T} \int_0^T x(t) e^{-2j\pi nft} dt \text{ avec : } T = \frac{1}{f}$$

Exercices

Remarques et notations

- $x(t)$, $y(t)$ et $z(t)$ sont des fonctions de période T du temps t .
- α est un nombre réel.
- On pourra introduire la pulsation $\omega = 2\pi f$ pour simplifier les calculs.
- On rappelle que :

$$\cos(a-b) = \cos(a)\cos(b) + \sin(a)\sin(b) ; \sin(a+b) = \sin(a)\cos(b) + \sin(b)\cos(a)$$

$$\cos(a) = \frac{e^{ja} + e^{-ja}}{2} ; \sin(a) = \frac{e^{ja} - e^{-ja}}{2j}$$

Pour chaque signal x , trouver l'ensemble des coefficients $c_n(x)$

- 1 $x(t) = \cos(2\pi ft)$
- 2 $x(t) = \cos^2(2\pi ft)$
- 3 $x(t) = \alpha y(t)$
- 4 $x(t) = y(t) + z(t)$

Exercice : signal sinusoïdal

Réécriture

$$\begin{aligned}
 x(t) &= \sin(2\pi ft) \\
 &= \frac{e^{2j\pi ft} - e^{-2j\pi ft}}{2j} \\
 &= \frac{j}{2} e^{-2i\pi ft} - \frac{j}{2} e^{2j\pi ft}
 \end{aligned}$$

Coefficients

$$c_n(x) = \begin{cases} -\frac{j}{2} & \text{si : } n = 1 \\ \frac{j}{2} & \text{si : } n = -1 \\ 0 & \forall n \in \mathbb{Z} - \{1, -1\} \end{cases}$$

Interprétation des coefficients c_n

Comment passer de $[c_n]$ à $[a_n, b_n]$

On note \Re la fonction partie réelle et \Im la fonction partie imaginaire. On remarque que dans le cas des signaux à valeurs réels (ce qui est majoritairement le cas en physique) :

$$c_{-n} = \Re(c_n) - j\Im(c_n) = \bar{c}_n$$

Les coefficients associés à $n < 0$ sont donc inutiles car conjugués de coefficients obtenus pour $n \geq 0$. On remarque aussi que les coefficients a_n et b_n peuvent être calculés pour $n \geq 0$:

$$a_n = 2\Re(c_n)$$

$$b_n = -2\Im(c_n)$$

Exercice : signal carré

Calculs

$$x(t) = \begin{cases} -1 & \text{si : } t \in]0, T/2[\\ 1 & \text{si : } t \in]T/2, T[\end{cases}$$

Donc :

$$\begin{aligned} c_n(x) &= \frac{1}{T} \int_0^T x(t) e^{-2j\pi nft} dt \\ &= -\frac{1}{T} \int_0^{T/2} e^{-2j\pi nft} dt + \frac{1}{T} \int_{T/2}^T e^{-2j\pi nft} dt \\ &= \frac{1}{T} \left(\left[\frac{-j}{2\pi nf} e^{-2j\pi nft} \right]_0^{T/2} + \left[\frac{j}{2\pi nf} e^{-2j\pi nft} \right]_{T/2}^T \right) \end{aligned}$$

Coefficients

$$c_n(x) = -j \frac{2}{\pi n} \text{ avec : } n = 2k + 1 \text{ et : } k \in \mathbb{Z}$$

Exercice : signal carré

Mise en pratique : voyons si ça marche

```

1 # listings/serieF_carre.py
2 from cmath import exp
3 from numpy import arange, array
4 from math import pi
5 from matplotlib import pyplot as plt
6 from trace_complexes import *
7 N = 1 # Nombre de coefficients calculés
8 for N in [1,2,4,8,16,32,64,128,256,1024]: # Valeurs de N
9     # Indices n impairs
10    n = [2*k+1 for k in range(-N,0)]+[2*k+1 for k in range(N)]
11    c = [-2j/(pi*nn) for nn in n] # Coefficients c
12    T,beaucoup= 1., 2000
13    t,f = arange(beaucoup)/float(beaucoup)*T, array(n[N:2*N])/T
14    trace_complexes(f,c[N:2*N], '../figures/serieF_carre_c_{0}.pdf'.format(
15        N),title='Coefficients $c_n$ pour $N = {0}$'.format(N))
16    x = []
17    for tt in t:
18        x.append(0.)
19        for i in xrange(len(n)):
20            x[-1] = x[-1]+c[i]*exp(2j*pi*n[i]*tt/T)
21    x1 = [xx.real for xx in x]
22    plt.figure(0,figsize=(10,2))
23    plt.clf()
24    plt.plot(t,x1)
25    plt.title('$N={0}$'.format(N))
26    plt.savefig('../figures/serieF_carre_{0}.pdf'.format(N))

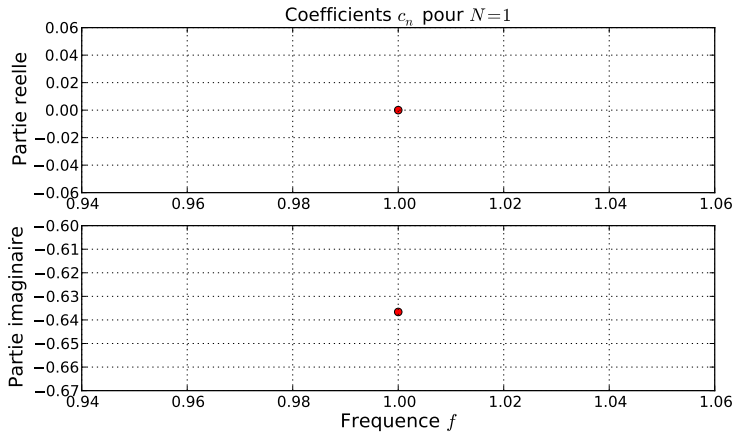
```

Exercice : signal carré

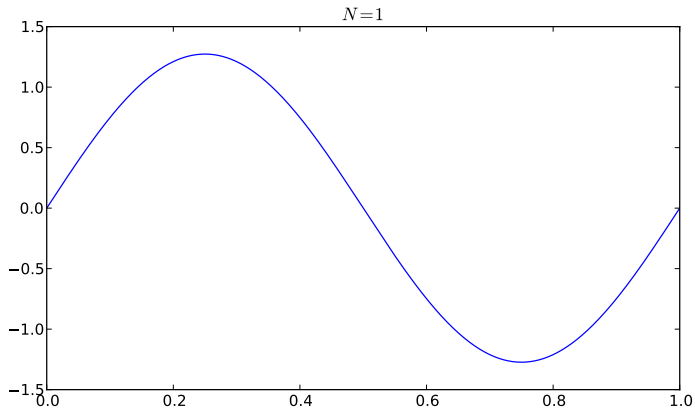
Programme de tracé de vecteurs complexes

```
1 # trace_complexes.py
2 import matplotlib.pyplot as plt
3
4 def trace_complexes(x,y,fichier,xlabel='Frequence $f$', title='', style=
    'ro'):
5     plt.figure(0,figsize=(9,5))
6     plt.clf()
7     plt.grid(True)
8     p0 = plt.subplot(2,1,1)
9     p0.set_title(title)
10    p0.grid()
11    p0.plot(x,[yy.real for yy in y],style,linewidth=2.0)
12    p0.set_ylabel('Partie réelle', fontsize=15)
13    p1 = plt.subplot(2,1,2)
14    p1.grid()
15    p1.plot(x,[yy.imag for yy in y],style,linewidth=2.0)
16    p1.set_xlabel(xlabel, fontsize=15)
17    p1.set_ylabel('Partie imaginaire', fontsize=15)
18    plt.savefig(fichier)
```

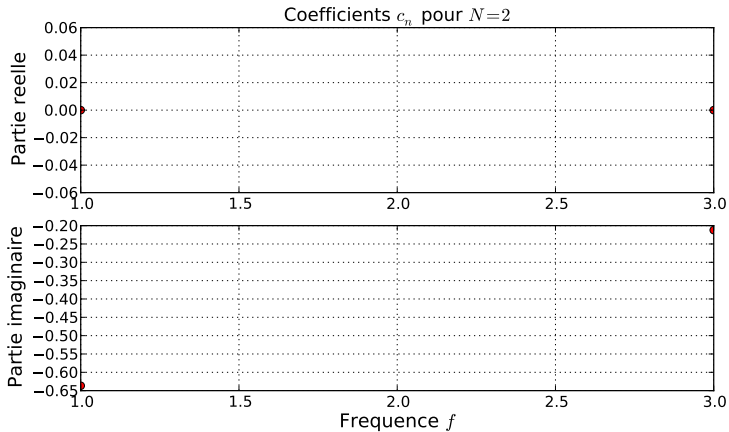
Exercice : signal carré



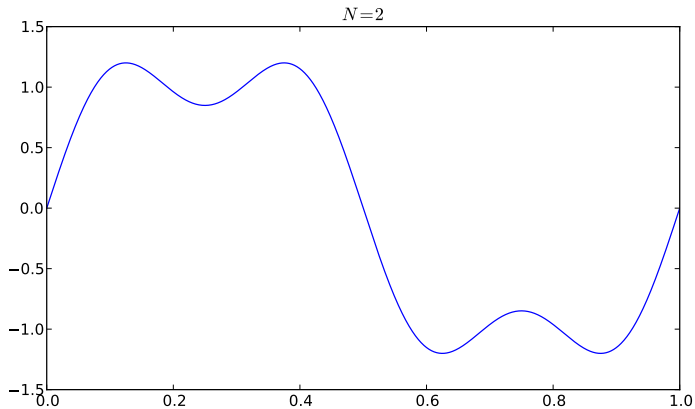
Exercice : signal carré



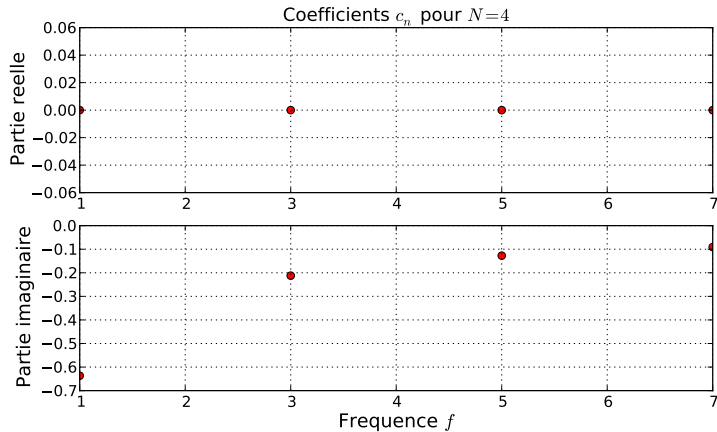
Exercice : signal carré



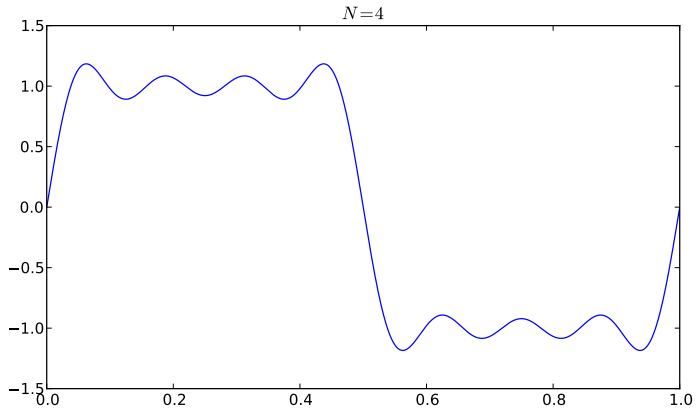
Exercice : signal carré



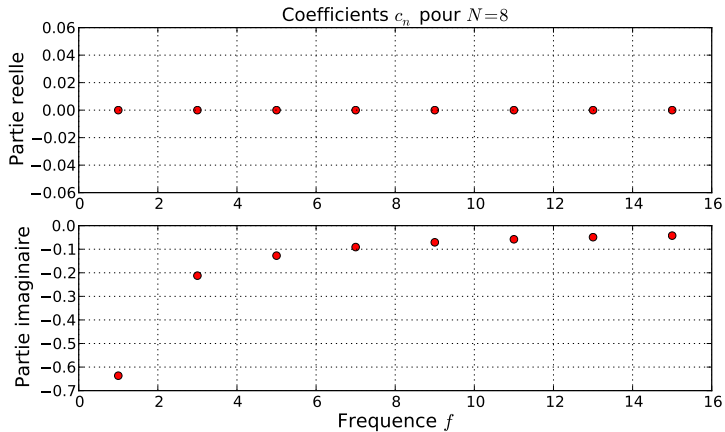
Exercice : signal carré



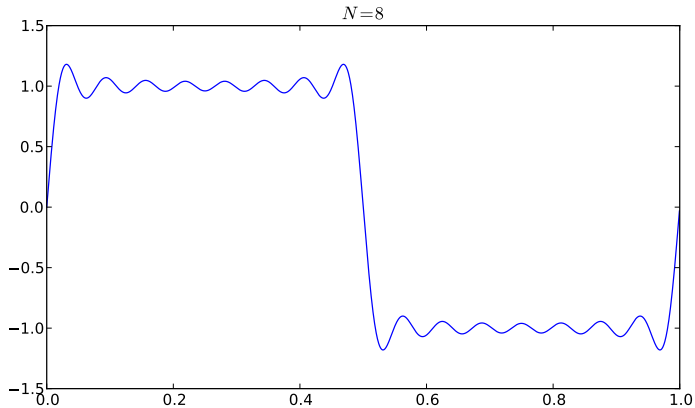
Exercice : signal carré



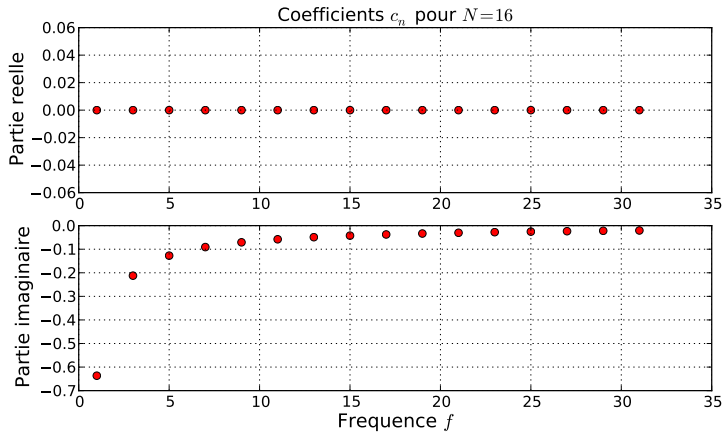
Exercice : signal carré



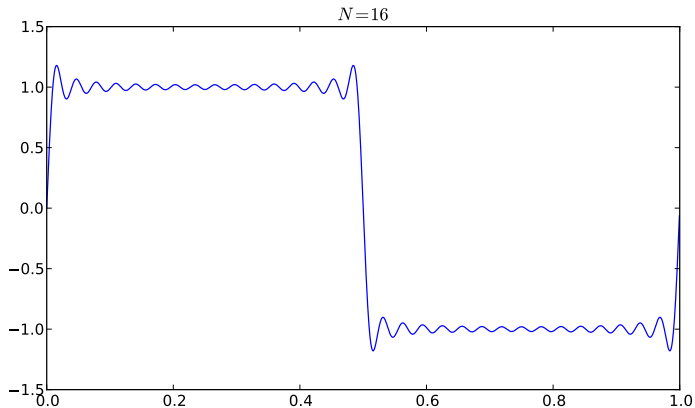
Exercice : signal carré



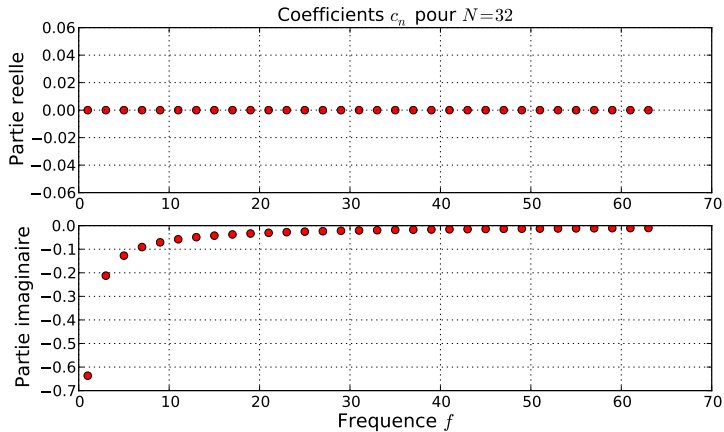
Exercice : signal carré



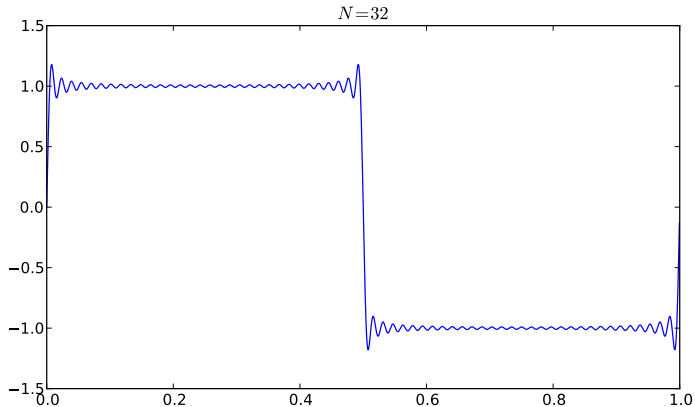
Exercice : signal carré



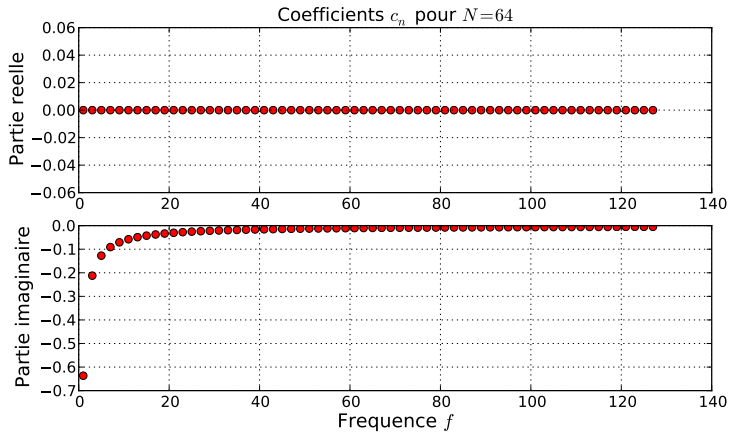
Exercice : signal carré



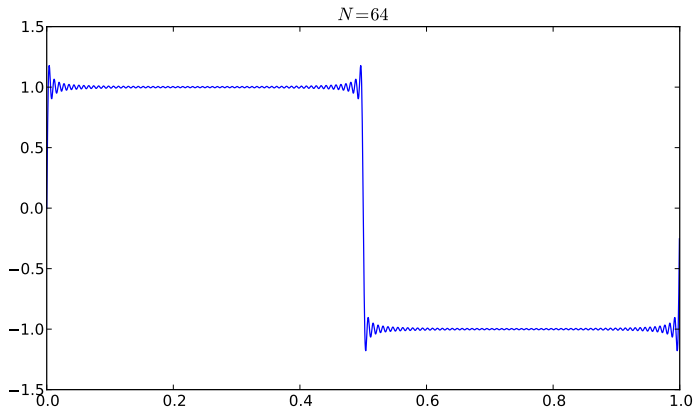
Exercice : signal carré



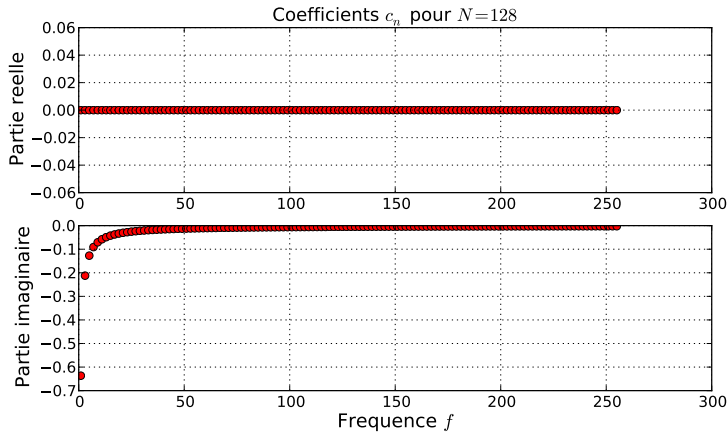
Exercice : signal carré



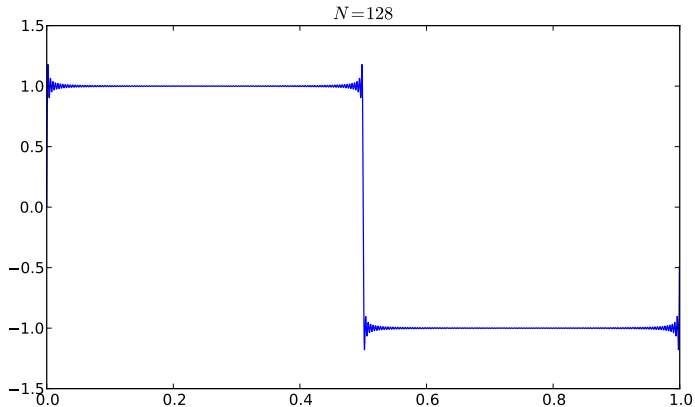
Exercice : signal carré



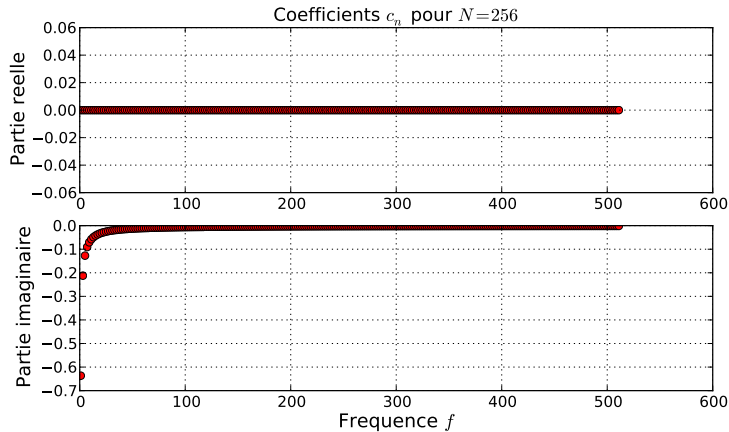
Exercice : signal carré



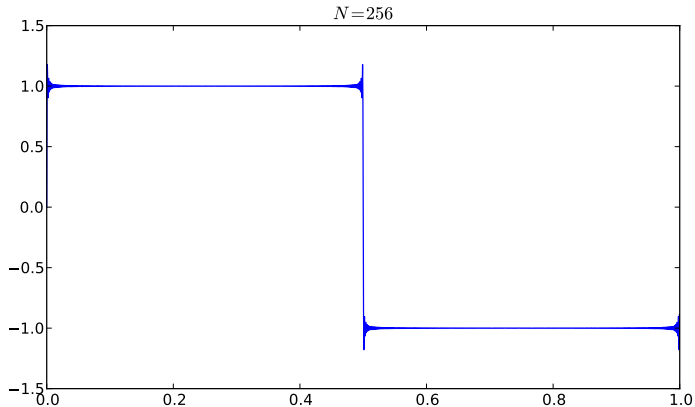
Exercice : signal carré



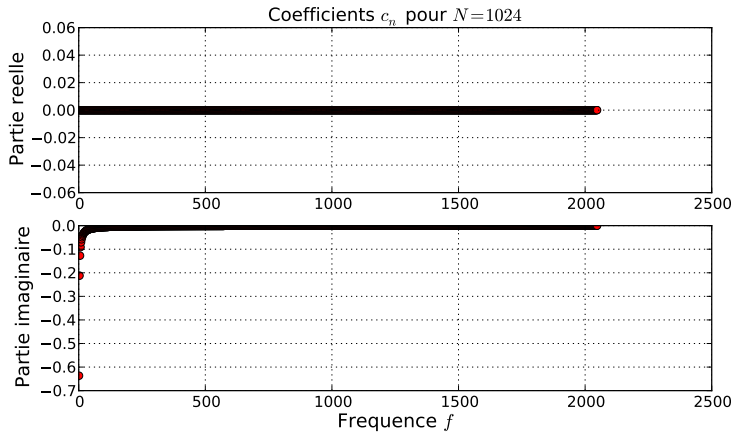
Exercice : signal carré



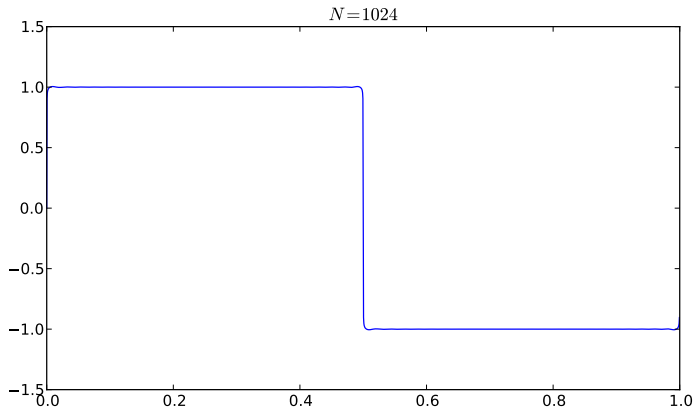
Exercice : signal carré



Exercice : signal carré



Exercice : signal carré



Transformées de Fourier

Formulation

$$x(t) \xrightarrow{\mathcal{F}} X(f) = \int_{-\infty}^{+\infty} x(t) e^{-2j\pi ft} dt$$

$$X(f) \xrightarrow{\mathcal{F}^{-1}} x(t) = \int_{-\infty}^{+\infty} X(f) e^{2j\pi ft} df$$

Points clés

- \mathcal{F} est la transformée de Fourier et \mathcal{F}^{-1} la transformée de Fourier inverse.
- \mathcal{F} s'applique à tous les signaux, même apériodiques.
- $X(f)$ est le spectre de $x(t)$.
- Un signal apériodique possède un spectre continu.
- Un signal périodique possède un spectre discret.

La Transformée de Fourier Discrète ou DFT

Formulation

On considère un signal échantillonné $[x_n]$ comportant N échantillons. Sa transformée de Fourier discrète $[X_k]$ s'écrit :

$$[x_n] \xrightarrow{\mathcal{DFT}} [X_k] = \sum_{n=0}^{n=N-1} x_n e^{-2j\pi \frac{kn}{N}}$$

$$[X_k] \xrightarrow{\mathcal{DFT}^{-1}} [x_n] = \frac{1}{N} \sum_{k=0}^{k=N-1} X_k e^{2j\pi \frac{kn}{N}}$$

Interprétation de $[X_k]$

Le vecteur X_k représente le spectre discret de $[x_n]$. Chaque coefficient X_k est associé à une fréquence f_k obtenue par :

$$f_k = k/D = kf_e/N$$

La Transformée de Fourier Discrète ou DFT

Interprétation de $[X_k]$

Dans le cas où le signal $x(t)$ est réel, les coefficients X_k pour $k > N/2$ sont les conjugués des coefficients d'indice $k < N/2$. On peut donc se contenter d'interpréter les $N/2$ premiers coefficients.

Liens entre $[X_k]$ et $[a_k, b_k]$

Les coefficients a_k et b_k peuvent être déterminés par :

$$a_k = \frac{2}{N} \Re(X_k)$$
$$b_k = -\frac{2}{N} \Im(X_k)$$

Mise en pratique : calcul de la DFT

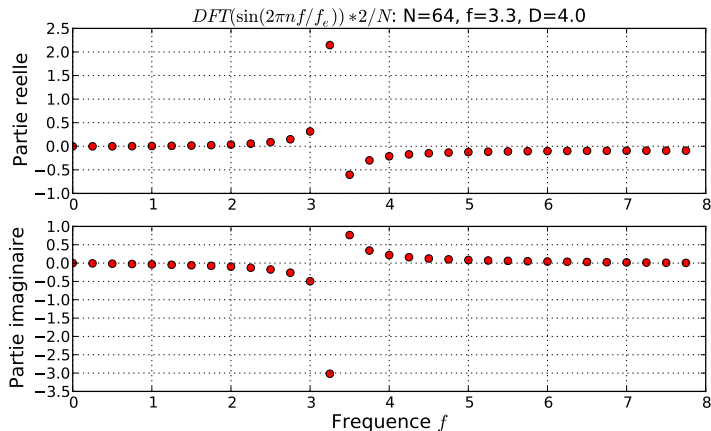
Programme de calcul de la DFT

```

1 # listings/exemple_DFT.py
2 from signal_sinusoidal import *
3 from signal_carre import *
4 from trace_complexes import *
5 from numpy import arange, floor
6 from cmath import exp
7 signal = signal_sinusoidal #signal = signal_carre
8 beaucoup, rien = 1000, 1.e-10
9 f = 3.3 # Frequence du signal
10 D = 4. # Duree d'observation
11 t_min = 0. # Debut du calcul du signal
12 t_max = t_min+D # Fin du calcul du signal
13 fe = 16. # Frequence d'echantillonnage
14 N = int(floor(D*fe)) # Nombre de points d'evaluation
15 tn = arange(N)/(D*fe)*(t_max-t_min)+t_min # Discretisation du temps
16 xn = [signal(tt,T=1./f, k=4.) for tt in tn] # Discretisation du signal
17 Xk = [] # DFT de xn
18 for k in range(N): # Boucle sur k
19     Xk.append(0.)
20     for n in range(N): # Boucle sur n
21         Xk[-1] = Xk[-1] + xn[n]*exp(-2j*pi*n*k/N) # Calcul de Xk
22         if abs(Xk[-1].real) < rien : Xk[-1] = Xk[-1] - Xk[-1].real
23         if abs(Xk[-1].imag) < rien : Xk[-1] = Xk[-1] - 1j*Xk[-1].imag
24     Xk[-1] = Xk[-1]*2/N
25 fk = arange(N)/D # Discretisation des frequences
26 tit='$DFT(\sin(2\pi nf/f_e))*2/N$ : N={0}, f={1}, D={2}'.format(N,f,D)
27 trace_complexes(fk[:N/2],Xk[:N/2], '../figures/DFT_sinus.pdf',title=tit)

```

Vérification la DFT sur un signal sinusoïdal



On retrouve donc bien la série de Fourier avec le coefficient $2/N$.

La FFT, pourquoi? Comment?

Pourquoi?

- Le calcul direct de la DFT demande de l'ordre de N^2 opérations alors que des algorithmes optimisés dits FFT demandent $N \times \log N$ opérations. Le gain de temps est très significatif quand N est grand.
- L'utilisation de langages rapides (C, Fortran) dans le module FFTPack disponible dans Scipy permet typiquement d'augmenter d'un facteur 400 la vitesse d'exécution par rapport Python.

Comment?

- Restrictions de la FFT : N doit être une puissance de 2.
- Utilisation :

```
1 # listings/exemple_FFT.py
2 from math import pi, sin
3 from scipy.fftpack import fft
4 N = 8
5 xn = [sin(2*pi*n/N) for n in xrange(N)]
6 Xk = fft(xn)
```

Renvoie $X_n = [0, -2j, 0, 2j]$ ce qui est identique au résultat obtenu par DFT. On utilisera donc préférentiellement la FFT pour des raisons de commodité et vitesse.

FFT : effet de la fréquence f

Programme

```

1 # listings/exemple_FFT_frequence.py
2 from math import pi, sin, exp
3 from scipy.fftpack import fft
4 from random import gauss
5 from numpy import array, arange, floor
6 from matplotlib import pyplot as plt
7 import matplotlib.gridspec as gridspec
8 from signal import sinusoidal import *
9 beaucoup = 1000
10 fe = 64. # Frequence d'echantillonnage
11 N = 4096 # Nombre de points d'echantillonnage
12 D = N/fe # Duree d'observation
13 f = 8./D # Frequence du signal
14 t_min = 0. # Debut du calcul du signal
15 t_max = t_min+D # Fin du calcul du signal
16 stddev = 0. # Ecart type du bruit
17 nom = '../figures/FFT_frequence.pdf'
18 amort = 0.
19 val = [fe-2, 64./D, 16./D, 8./D] # Frequence
20 lab = '$f={0}$'
21 tn = arange(N)/(D*fe)*D+t_min
22 for i in xrange(N):
23     if tn[i]<=1./f: i_t = i
24 xn = [sin(2*pi*f*t) for t in tn]
25 fk = arange(N)/D # Discretisation des frequences
26 plt.figure(0, figsize=(12,8))
27 plt.clf()
28 gs = gridspec.GridSpec(4, 3) # Grille de zone de trace

```

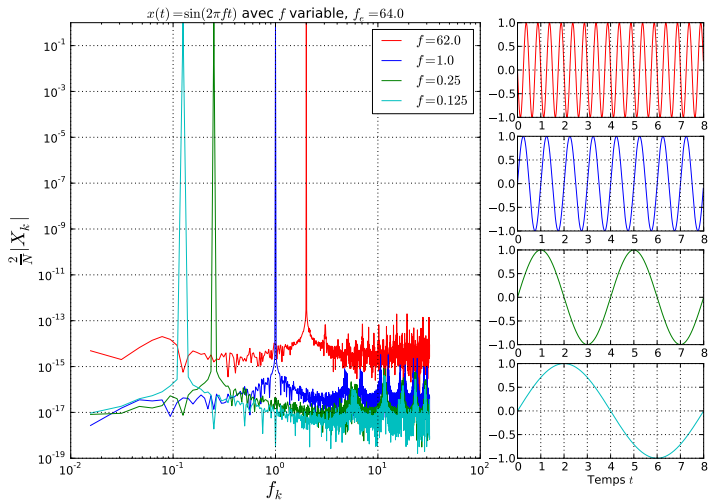
FFT : effet de la fréquence f

Programme

```

29 p0 = plt.subplot(gs[:,2])
30 p0.set_title(r'$x(t) = \sin(2 \pi f t)$ avec $f$ variable, $f_e={}$' .
    format(fe))
31 p0.grid()
32 p0.set_xlabel(r'$f_k$', fontsize=20)
33 p0.set_ylabel(r'$\frac{2}{N}|X_k|$', fontsize=20)
34 p0.set_xscale('log')
35 p0.set_yscale('log')
36 for z in xrange(len(val)):
37     v = val[z]
38     #stddev = v
39     f = v
40     xn = [sin(2*pi*f*t) for t in tn]
41     v_amort = array([exp(-t*amort) for t in tn])
42     color = ['r','b','g','c'][z]
43     bruit = array([gauss(0,stddev) for i in xrange(N)])
44     xxn = (xn + bruit)*v_amort
45     Xk = abs(fft(xxn))*2./N
46     p0.plot(fk[0:N/2],Xk[0:N/2],'-'+color, label = lab.format(v))
47     p0.legend()
48     p1 = plt.subplot(gs[z,-1])
49     p1.grid()
50     p1.plot(tn[:i_t],xxn[:i_t],'-'+color)
51 p1.set_xlabel('Temps $t$')
52 plt.savefig(nom)

```


FFT : effet de la fréquence f 

Changer la fréquence, c'est translater horizontalement le pic.

FFT : effet de la durée d'observation D

Programme

```

1 # listings/exemple_FFT_D.py
2 from math import pi, sin, exp
3 from scipy.fftpack import fft
4 from random import gauss
5 from numpy import array, arange, floor, hanning
6 from matplotlib import pyplot as plt
7 import matplotlib.gridspec as gridspec
8 from signal.sinusoidal import *
9 beaucoup = 1000
10 fe = 128. # Frequence d'echantillonnage
11 f = 1. # Frequence du signal
12 t_min = 0. # Debut du calcul du signal
13 stddev = 0. # Ecart type du bruit
14 nom = '../figures/FFT_D.pdf'
15 amort = 0.
16 val = 8./f*array([.8, 1., 1.2, 1.6])
17 lab = '$D/T={0}$'
18
19
20 plt.figure(0, figsize=(12,8))
21 plt.clf()
22 gs = gridspec.GridSpec(4, 3) # Grille de zone de trace
23 p0 = plt.subplot(gs[:, :2])
24 p0.set_title(r'$x(t) = \sin(2 \pi f t)$ avec $D$ variable')
25 p0.grid()
26 p0.set_xlabel(r'$f_k$', fontsize=20)
27 p0.set_ylabel(r'$\frac{2}{N}|X_k|$', fontsize=20)
28 p0.set_xscale('log')

```

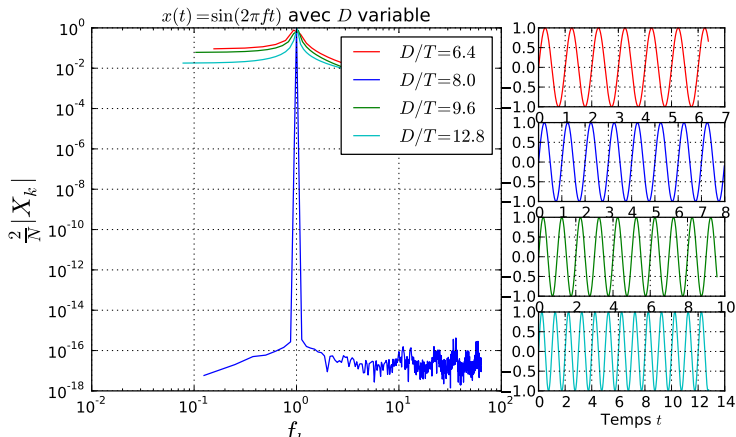
FFT : effet de la durée d'observation D

Programme

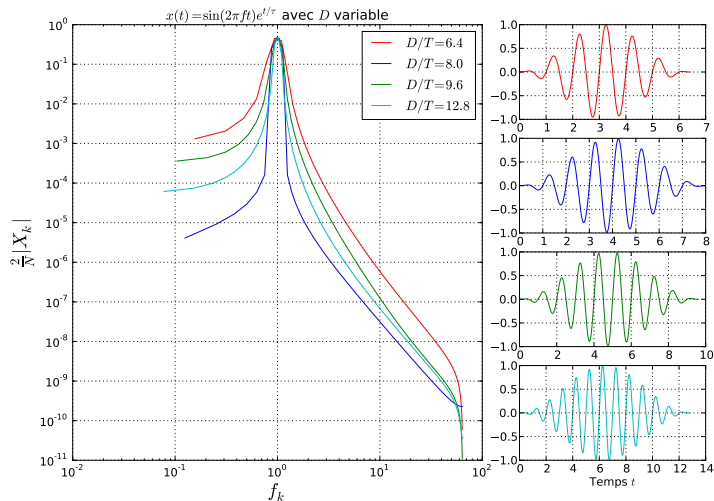
```

29 p0.set_yscale('log')
30 for z in xrange(len(val)):
31     v = val[z]
32     D = v
33     i_t=-1
34     N_ = int(D*fe)
35     fk = arange(N)/D # Discretisation des frequences
36     t_max = t_min+D # Fin du calcul du signal
37     tn = arange(N)/float(N)*D+t_min
38     xn = [sin(2*pi*f*t) for t in tn]
39     v_amort = array([exp(-t*amort) for t in tn])
40     color = ['r','b','g','c'][z]
41     bruit = array([gauss(0,stddev) for i in xrange(N)])
42     xxn = (xn + bruit)*v_amort #*hanning(N)
43     Xk = abs(fft(xxn))*2./N
44     p0.plot(fk[0:N/2],Xk[0:N/2],'-'+color, label = lab.format(v*f))
45     p1 = plt.subplot(gs[z,-1])
46     p1.grid()
47     p1.plot(tn[:i_t],xxn[:i_t],'-'+color)
48 p0.legend()
49 p1.set_xlabel('Temps $t$')
50 plt.savefig(nom)

```

FFT : effet de la durée d'observation D 

Lorsque D n'est pas multiple de la période T , la hauteur du pic est réduite.

FFT : effet de la durée d'observation D 

Le fenêtrage temporel de Hann permet d'augmenter la hauteur du pic.

FFT : effet du bruit

Programme

```

1 # listings/exemple_FFT_bruit.py
2 from math import pi, sin, exp
3 from scipy.fftpack import fft
4 from random import gauss
5 from numpy import array, arange, floor
6 from matplotlib import pyplot as plt
7 import matplotlib.gridspec as gridspec
8 from signal import sinusoidal import *
9 beaucoup = 1000
10 fe = 64. # Frequence d'echantillonnage
11 N = 4096 # Nombre de points d'echantillonnage
12 D = N/fe # Duree d'observation
13 f = 8./D # Frequence du signal
14 t_min = 0. # Debut du calcul du signal
15 t_max = t_min+D # Fin du calcul du signal
16 stddev = 0. # Ecart type du bruit
17 nom = '../figures/FFT_bruit.pdf'
18 amort = 0.
19 val = [1., 1.e-1, 1.e-2, 0.] # Bruit
20 lab = 'Ecart type bruit: {0}'
21 tn = arange(N)/(D*fe)*D+t_min
22 for i in xrange(N):
23     if tn[i]<=1./f: i_t = i
24 xn = [sin(2*pi*f*t) for t in tn]
25 fk = arange(N)/D # Discretisation des frequences
26 plt.figure(0, figsize=(12,8))
27 plt.clf()
28 gs = gridspec.GridSpec(4, 3) # Grille de zone de trace

```

FFT : effet du bruit

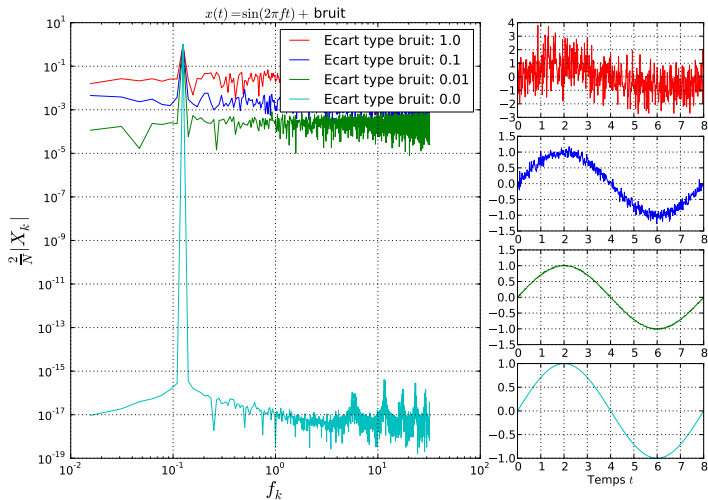
Programme

```

29 p0 = plt.subplot(gs[:,2])
30 p0.set_title(r'$x(t) = \sin(2 \pi f t) + $ bruit')
31 p0.grid()
32 p0.set_xlabel(r'$f_k$', fontsize=20)
33 p0.set_ylabel(r'$\frac{2}{N}|X_k|$', fontsize=20)
34 p0.set_xscale('log')
35 p0.set_yscale('log')
36 for z in xrange(len(val)):
37     v = val[z]
38     stddev = v
39     v_amort = array([exp(-t*amort) for t in tn])
40     color = ['r','b','g','c'][z]
41     bruit = array([gauss(0,stddev) for i in xrange(N)])
42     xxn = (xn + bruit)*v_amort
43     Xk = abs(fft(xxn))*2./N
44     p0.plot(fk[0:N/2],Xk[0:N/2],'-'+color, label = lab.format(v))
45     p0.legend()
46     p1 = plt.subplot(gs[z,-1])
47     p1.grid()
48     p1.plot(tn[:i_t],xxn[:i_t],'-'+color)
49     p1.set_xlabel('Temps $t$')
50     plt.savefig(nom)

```

FFT : effet du bruit



Le bruit réduit la hauteur du pic.

FFT : effet de l'amortissement

Programme

```

1 # listings/exemple_FFT_amortissement.py
2 from math import pi, sin, exp
3 from scipy.fftpack import fft
4 from random import gauss
5 from numpy import array, arange, floor, hanning
6 from matplotlib import pyplot as plt
7 import matplotlib.gridspec as gridspec
8 from signal import sinusoidal import *
9 beaucoup = 1000
10 fe = 64. # Frequence d'echantillonnage
11 N = 1024 # Nombre de points d'echantillonnage
12 D = N/fe # Duree d'observation
13 f = 32./D # Frequence du signal
14 t_min = 0. # Debut du calcul du signal
15 t_max = t_min+D # Fin du calcul du signal
16 stddev = 0. # Ecart type du bruit
17 nom = '../figures/FFT_amortissement-hann.pdf'
18 amort = 0.
19 val = [0., .001, .1, 1.] # Amortissement
20 lab = r'$1/\tau = \{0\}$'
21 tn = arange(N)/(D*fe)*D+t_min
22 xn = [sin(2*pi*f*t) for t in tn]
23 fk = arange(N)/D # Discretisation des frequences
24 plt.figure(0, figsize=(12,8))
25 plt.clf()
26 gs = gridspec.GridSpec(4, 3) # Grille de zone de trace
27 p0 = plt.subplot(gs[:, :2])
28 p0.set_title(r'$x(t) = \sin(2 \pi f t)e^{-t/\tau}$ avec $\tau$ variable +

```

FFT : effet de l'amortissement

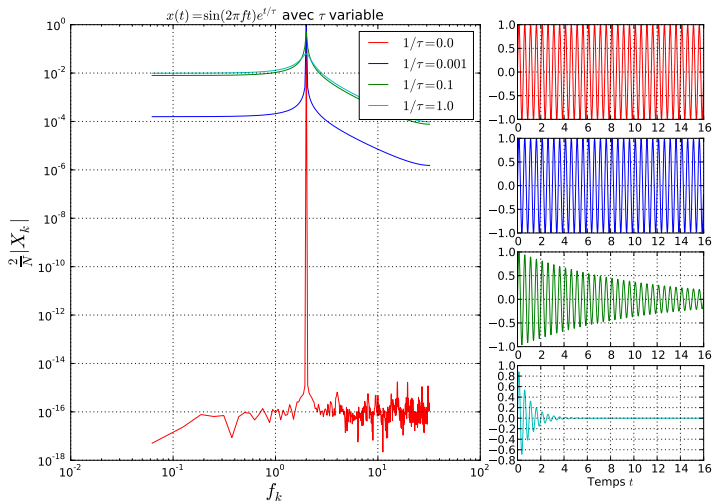
Programme

```

29 p0.grid()
30 p0.set_xlabel(r'$f_k$', fontsize=20)
31 p0.set_ylabel(r'$\frac{2}{N}|X_k|$', fontsize=20)
32 p0.set_xscale('log')
33 p0.set_yscale('log')
34
35 for z in xrange(len(val)):
36     v = val[z]
37     amort = v
38     v_amort = array([exp(-t*amort) for t in tn])
39     color = ['r','b','g','c'][z]
40     bruit = array([gauss(0,stddev) for i in xrange(N)])
41     xxn = (xn + bruit)*v_amort*hanning(N)
42     Xk = abs(fft(xxn))*2./N
43     p0.plot(fk[0:N/2],Xk[0:N/2],'-'+color, label = lab.format(v))
44     p0.legend()
45     p1 = plt.subplot(gs[z,-1])
46     p1.grid()
47     p1.plot(tn[:],xxn[:],'-'+color)
48     p1.set_xlabel('Temps $t$')
49     plt.savefig(nom)

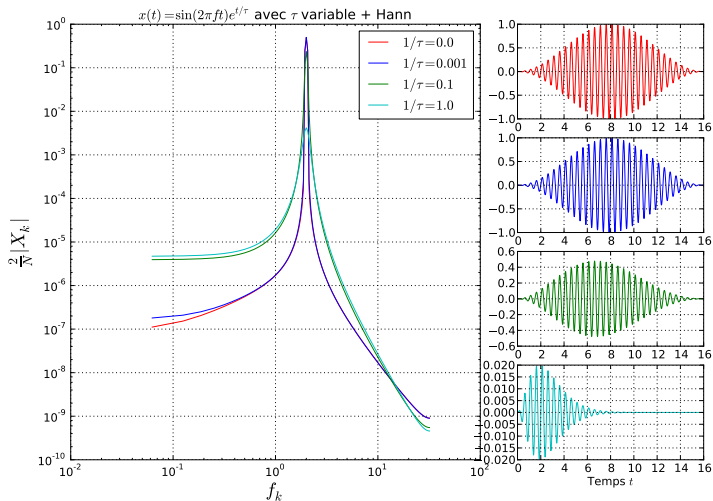
```

FFT : effet de l'amortissement



L'amortissement entraine une perte de hauteur du pic.

FFT : amortissement et fenêtrage de Hann



Le fenêtrage de Hann (méthode dite hanning) induit une hauteur de pic $\times 1000!!$

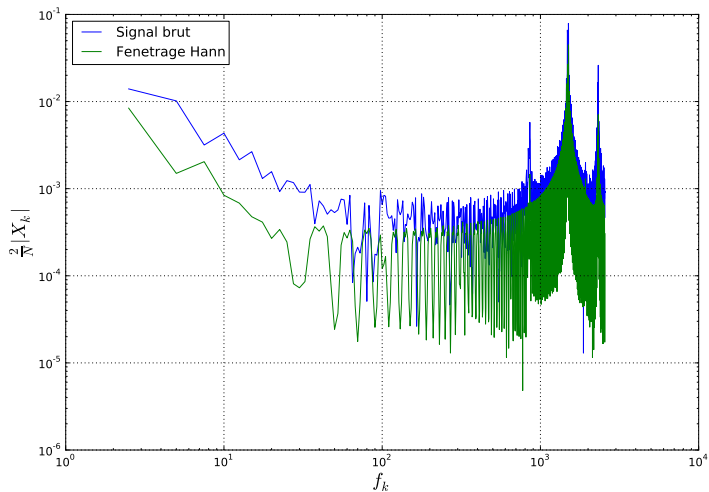
Application à la cloche

```

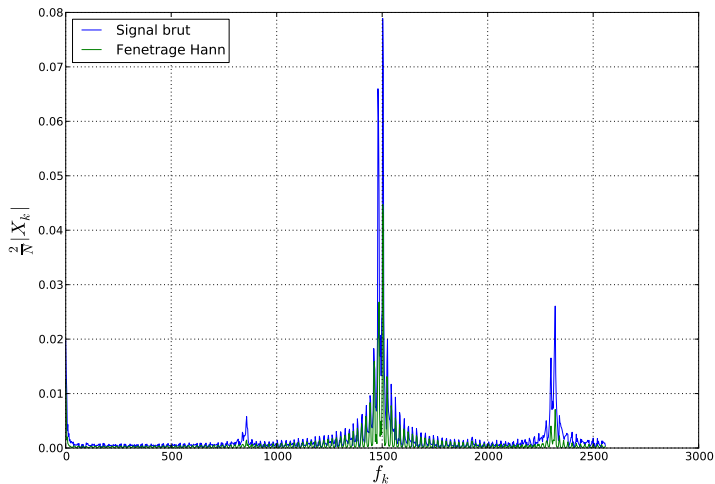
1 # listings/exemple_FFT_cloche.py
2 from scipy.fftpack import fft
3 from numpy import array, arange, hanning
4 from matplotlib import pyplot as plt
5 import pickle
6 nom = '../figures/FFT_cloche-log.pdf'
7 fichier = open('cloche.pckl','r') # Ouverture du fichier
8 cloche = pickle.load(fichier) # Chargement des donnees
9 fichier.close() # Fermeture du fichier
10 xn = cloche['x'][:32] # Redimensionnement des donnees
11 fe = float(cloche['fe']) # Definition de la frequence d'echantillonnage
12 tn = arange(len(xn))/float(fe)
13 N = len(tn)
14 D = N/fe
15 plt.figure(0, figsize=(12,8))
16 plt.clf()
17 fk = arange(N)/D # Discretisation des frequences
18 Xk = abs(fft(xn))*2./N
19 Xkh = abs(fft(xn*hanning(N)))*2./N
20 plt.plot(fk[0:N/2],Xk[0:N/2],'-', label='Signal brut')
21 plt.plot(fk[0:N/2],Xkh[0:N/2],'-', label='Fenetrage Hann')
22 plt.xlabel(r'$f_k$', fontsize=20)
23 plt.ylabel(r'$\frac{2}{N}|X_k|$', fontsize=20)
24 plt.xscale('log')
25 plt.yscale('log')
26 plt.grid(True)
27 plt.legend(loc='upper left')
28 plt.savefig(nom)

```

Application à la cloche



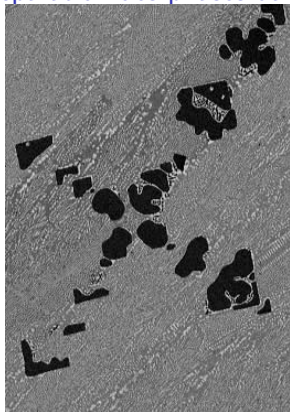
Application à la cloche



Plan

- 1 Notations
- 2 Outils
- 3 Signaux
- 4 Echantillonnage
- 5 Analyse fréquentielle
- 6 Traitement d'images**

Séparation des phases dans un alliage SiNb



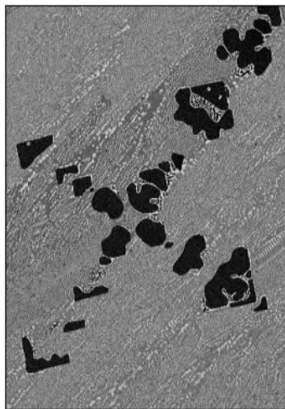
Image

- 260 × 372 pixels
- 8 bits (256 niveaux de gris).
- Nb_3Si en gris clair et Nb_3Si_5 en noir.
- Source : Onera

Objectif

- Isoler les deux phases.
- Calculer la proportion de chaque phase.
- Calculer la taille moyenne de chaque dendrite de Nb_3Si_5

Ouverture d'une image



```

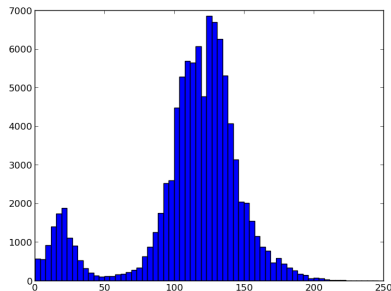
1 # image.py
2 # Opening image file
3 from PIL import Image
4 from matplotlib import pyplot as plt
5 import numpy as np
6 from scipy import ndimage
7 import matplotlib.cm as cm
8 im = Image.open("SiNb.bmp")
9 z = np.array(im) # image to array
10 figdir = ''
11 plt.figure(0)
12 plt.clf()
13 grad = plt.imshow(z, cmap = cm.gray)
14 plt.colorbar(grad)
15 plt.xticks([])
16 plt.yticks([])
17 plt.savefig(figdir+'image_original.png',
              )

```

Questions

Comment séparer les deux phases ?

L'histogramme



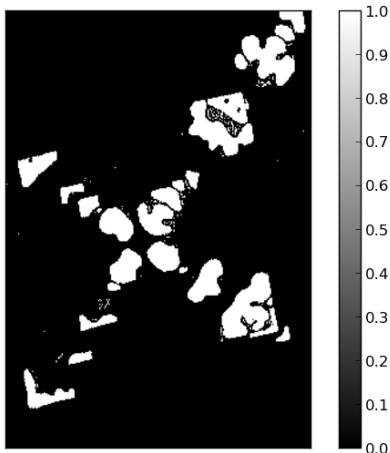
```

19 # Trace de l'histogramme
20 n_classes = 64 # Nombre de
    classes
21 plt.figure(1)
22 plt.clf()
23 plt.hist(z.flatten(), bins=
    n_classes)
24 plt.savefig(figdir+'image_hist.
    png')
```

Questions

L'histogramme nous informe-t-il sur les niveaux correspondant aux différentes couleurs ?

Seuillage

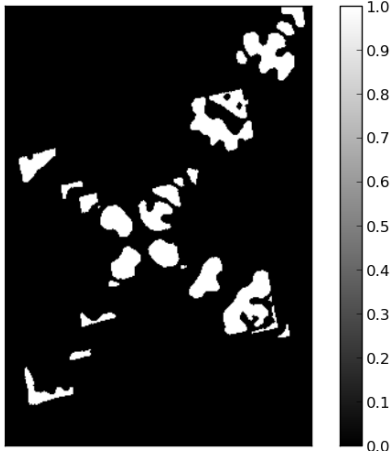


```
26 # Seuillage de l'image
27 zs = z<50
28 plt.figure(2)
29 plt.clf()
30 grad = plt.imshow(zs, cmap = cm.gray)
31 plt.colorbar(grad)
32 plt.xticks([])
33 plt.yticks([])
34 plt.savefig(figdir+'image_threshold.
    png')
```

Questions

L'image seuillée permet-elle de séparer proprement les deux phases ?

Érosion



```

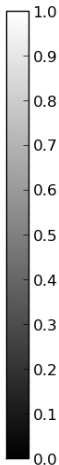
37 # Erosion
38 n_ero = 10 # Nombre de passes
39 ze = zs
40 for i in xrange(n_ero):
41     ze = ndimage.binary_erosion(ze)
42 plt.figure(3)
43 plt.clf()
44 grad = plt.imshow(ze, cmap = cm.gray)
45 plt.colorbar(grad)
46 plt.xticks([])
47 plt.yticks([])
48 plt.savefig(figdir+'image_erosion.
    png')

```

Questions

L'érosion a-t-elle modifié la proportion des deux phases ? comment contrer cet effet ?

Dilatation

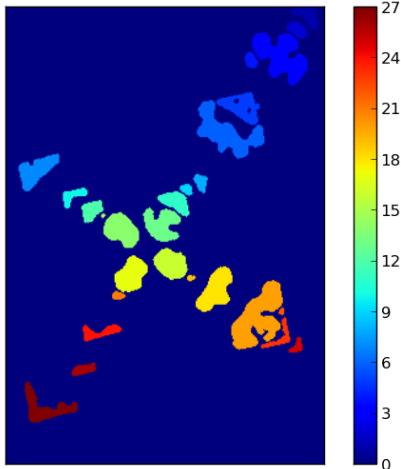


```
50 # Dilatation
51 for i in xrange(n_ero):
52     ze = ndimage.binary_dilation(ze)
53     plt.figure(4)
54     plt.clf()
55     grad = plt.imshow(ze, cmap = cm.gray)
56     plt.colorbar(grad)
57     plt.xticks([])
58     plt.yticks([])
59     plt.savefig(figdir+'image_dilation.
        png')
```

Questions

Comment séparer les dendrites ?

Labélisation



```

61 # Labeling
62 zl, nombre = ndimage.label(ze)
63 plt.figure()
64 plt.clf()
65 grad = plt.imshow(zl)
66 plt.colorbar(grad)
67 plt.xticks([])
68 plt.yticks([])
69 plt.savefig(figdir+'image_labels.png')

```

Questions

Comment compter les dendrites ?

Comptage

Résultats

- Proportion de dendrites : 9.6 %
- Surface moyenne : $358 \text{ px} \approx 128 \mu\text{m}^2$

```
71 # Comptage
72 surface_dendrite = float(ze.sum())
73 surface_totale = float(np.size(ze))
74 taille_moyenne = surface_dendrite /
    nombre
75 proportion = surface_dendrite /
    surface_totale
```

Conclusion

- Outils de traitement quantitatif des images.
- Applications très vastes.

Analyse fréquentielle



```

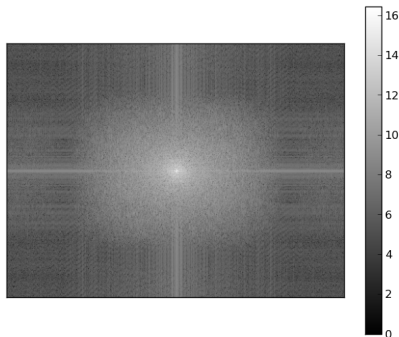
1  from scipy.fftpack import fft2 ,
    ifft2 , fftshift , ifftshift
2  from PIL import Image
3  import numpy as np
4  from matplotlib import pyplot as plt
5  import matplotlib.cm as cm
6
7  # Ouverture image
8  im = Image.open("houle.png")
9  z = np.array(im) # image to array
10
11 # Image originale
12 fig = plt.figure(0)
13 plt.clf()
14 plt.xticks([])
15 plt.yticks([])
16 grad = plt.imshow(z, cmap = cm.gray)
17 plt.colorbar(grad)
18 plt.savefig(figdir+'lapin_original.
    png')

```

Questions

Comment utiliser l'analyse fréquentielle pour modifier une image ?

FFT 2D

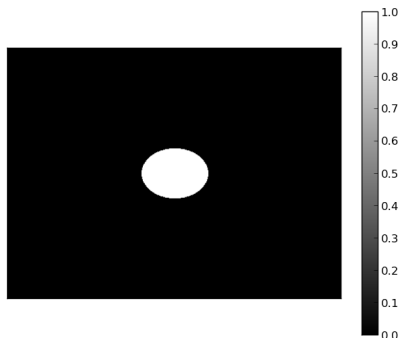


```
20 # FFT 2D
21 Z = fftshift(fft2(z))
22 fig = plt.figure(0)
23 plt.clf()
24 plt.xticks([])
25 plt.yticks([])
26 grad = plt.imshow(np.log(abs(Z)),
27                  cmap = cm.gray)
28 plt.colorbar(grad)
29 plt.savefig(figdir+'lapin_spectre.
30             png')
```

Questions

Comment construire un filtre basique à appliquer au spectre du lapin.

Filtre passe bas (1/3)



```

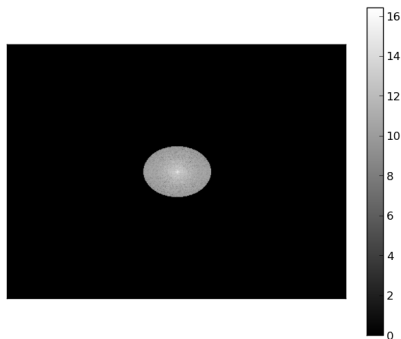
30 # Filtre passe bas
31 x = np.linspace(-1., 1., len(Z[0]))
32 y = np.linspace(-1., 1., len(Z))
33 X, Y = np.meshgrid(x, y)
34 R = (X**2 + Y**2)**.5
35 F = R < .1 # Voici notre filtre
36 #F = abs(X) < 0.05
37 fig = plt.figure(0)
38 plt.clf()
39 plt.xticks([])
40 plt.yticks([])
41 grad = plt.imshow(F, cmap = cm.gray)
42 plt.colorbar(grad)

```

Questions

Comment appliquer ce filtre à notre spectre ?

Filtre passe bas (2/3)

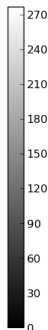


```
44
45 # Application du filtre passe bas
46 Z = Z * F
47 fig = plt.figure(0)
48 plt.clf()
49 plt.xticks([])
50 plt.yticks([])
51 grad = plt.imshow(np.log(abs(Z+1)),
52                   cmap = cm.gray)
52 plt.colorbar(grad)
```

Questions

Quel est le résultat par FFT inverse ?

Filtre passe bas (3/3)



```
54  
55 # FFT inverse  
56 z_lp = abs(iff2(iffshift(Z)))  
57 fig = plt.figure(0)  
58 plt.clf()  
59 plt.xticks([])  
60 plt.yticks([])  
61 grad = plt.imshow(z_lp, cmap = cm.  
62                  gray)  
63 plt.colorbar(grad)
```

Questions

- Trouvez vous la qualité correcte ?
- En vous inspirant des exemples 1D, avez vous une idée pour améliorer les choses ?

Filtre passe haut



```

64
65 # Filtre passe haut
66 x = np.linspace(-1., 1., len(Z[0]))
67 y = np.linspace(-1., 1., len(Z))
68 X, Y = np.meshgrid(x, y)
69 R = (X**2 + Y**2)**.5
70 F = R > .05 # Voici notre filtre
71 #F = abs(Y) > 0.05
72 Z = fftshift(fft2(z))
73 z_hp = abs(ifft2(ifftshift(Z * F)))
74 fig = plt.figure(0)
75 plt.clf()
76 plt.xticks([])
77 plt.yticks([])
78 grad = plt.imshow(z_hp, cmap = cm.
    gray)
  
```

Questions

- Quelles applications ?